

大成建設 矢田 政則

○ 中央大学 大阪 一

1 はじめに 最近、流理トンネルや埋設管の地震時の安全性を検討することに関連して、地盤の層厚が変化する等、複雑な境界条件とともに地盤の地震時の挙動を解析することが必要になる、といふ。

地盤中で伝播する地震波動の研究は古くから数理弹性論により研究されて来たが、地盤構成や境界条件が複雑な場合について解析的にこれを取扱うことには困難がある。筆者はこのような地盤の地震波動の伝播の状況を観察するため、有限要素法を用いて解析することを試みた。

2 基礎方程式 振動方程式及び自由表面での境界条件は式(1), (2)とえられる。

$$\rho u_i - E_{ijkl} u_{k,l,j} = 0 \quad (1) \quad \sigma_{ij} n_j = 0 \quad (2)$$

ここで、(1)式のみを満足する解を u_i^0 とし、(1), (2)式を満足する解 u_i^* との差 u_i^* とする。 u_i^0 は次式を満たさなければならぬ。

$$\rho u_i^0 - E_{ijkl} u_{k,l,j}^0 = 0 \quad (3)$$

$$S_i = E_{ijkl} u_{k,l,j}^0 n_j = -E_{ijkl} u_{k,l,j}^* n_j \quad (4)$$

すなわち、 u_i^0 は自由表面で発生する反射波である。(3), (4)式は反射波の方程式になつてゐる。問題を平面歪とし、 u_i^0 と u_i^* を等質地盤内を y 軸方向に進行するせん断波とするならば次のようく表現できる。

$$u_i^* = u^*(x, y, t) = f(y - Vst) \quad (5)$$

$$u_2^* = v(x, y, t) = 0$$

この時自由表面での条件は次のようになる。

$$S_x = -G \frac{df}{dy}(y - Vst) n_y \quad S_y = -G \frac{df}{dy}(y - Vst) n_x \quad (6)$$

時間に関する離散化は B 法を使用し、荷重項の計算にはガウスの数値積分を使用した。

3 計算例 解析法の数値計算上の精度を検討するため、図-1 に示したような均一な層厚 25" をもつ地盤にせん断波が入力された場合の、地表面における波動の反射状況について解析した。せん断波速度は 150" / 秒とした。積分時間区隔は 0.00125 秒である。解析結果を図-2 に示す。t = 0.07 秒で地表面の変位振幅は入力波の振幅の 2 倍となり、t = 0.17 秒では入力波とほぼ同一型のせん断波が下眸している。

次に図-3 に示した地盤について解析した。図-3 の地盤は層 I の部分が厚さ 25", 層 II は厚さ 50" であり、層厚が不連続的に変化している。せん断波速度は 150" / 秒、積分時間区隔は 0.0025 秒である。

図-4 (a), (b) にせん断波の時間的推移を示した。t = 0.07 秒で入力せん断波は層 I の地表面に達し、振幅は 2 倍となる。これに対し層 II ではせん断波の波型に変化がみとめられない。層 I と層 II に接続部分では振幅が入力波の振幅に比べ、30% 程度大きくなつてゐる。t = 0.16 秒では接続部分において上昇波と下降波の分離がみとめられる。図-5 は層 I の地表面に入力せん断波が到達した後の層 I の地表面の上下方向の変形を示したものである。不連続点より上下動が発生し、振幅を徐々に増加させてながら地表面上を伝播していく。上下動の最大振幅は入力せん断波の 40% 程度である。図-6 (a), (b) は入力せん断波が層 I の地表面に到達した時間 (t = 0.07 秒) における水平方向曲歪 ϵ_x , 垂直方向曲歪 ϵ_z の分布を示している。不連続点を中心にして集中してゐる。軸方向歪の最大値は入力波によるせん断歪の 15% 程度である。

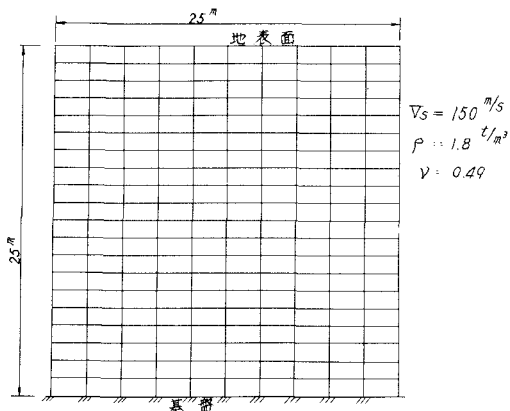


図-1 要素分割図(モデルI)

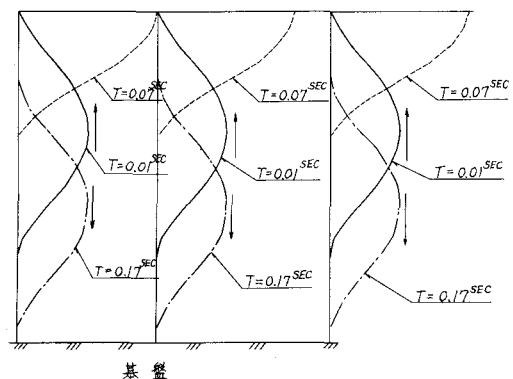


図-2 水平変位図(モデルI)

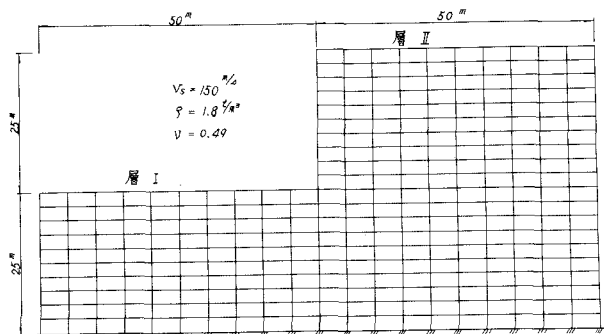


図-3 要素分割図(モデルII)

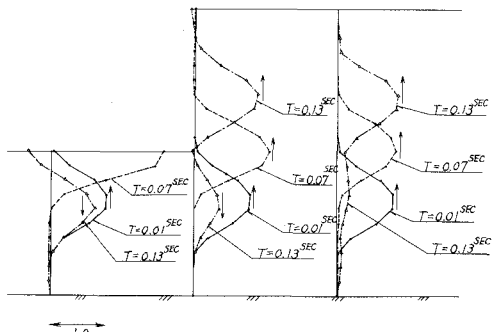


図-4 水平変位図(モデルII)

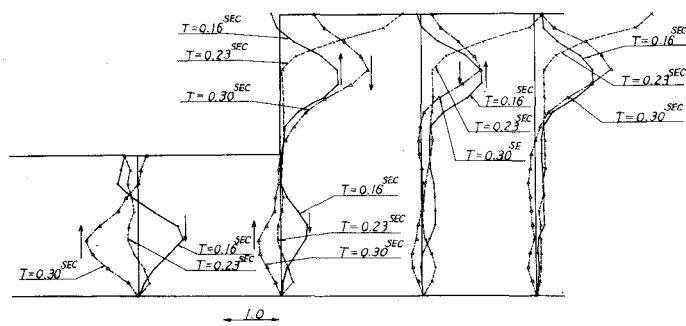


図-4(b) 水平変位図(モデルII)

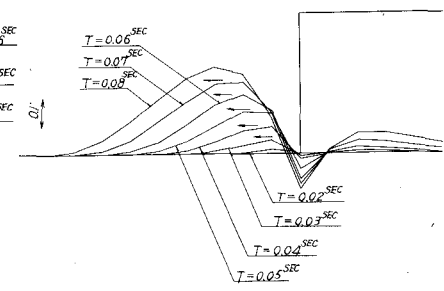


図-5 縦直変位図(モデルII)

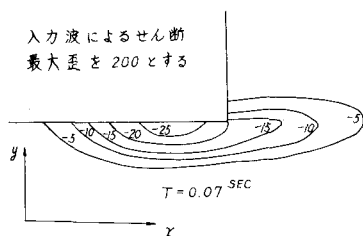


図-6(a) 水平方向軸歪(モデルII)

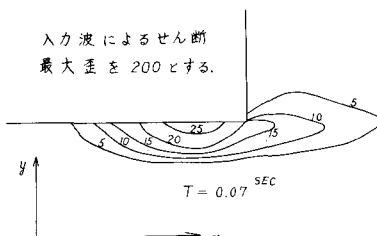


図-6(b) 縦直方向軸歪(モデルII)